

# Efecto Casimir Dinámico

---

Nicolás F. Del Grosso

Temas avanzados de termodinámica - Septiembre 2019

Departamento de Física - FCEyN - UBA

# Efecto Casimir Dinámico

---

Reseña:

- Transformaciones de Bogoliuvob

# Efecto Casimir Dinámico

---

Reseña:

- Transformaciones de Bogoliuvob
- Efecto Casimir dinámico y sus propiedades

# Efecto Casimir Dinámico

---

Reseña:

- Transformaciones de Bogoliuvob
- Efecto Casimir dinámico y sus propiedades
- Propuesta experimental y medición

# Efecto Casimir Dinámico

---

Reseña:

- Transformaciones de Bogoliuvob
- Efecto Casimir dinámico y sus propiedades
- Propuesta experimental y medición
- Sistema optomecánico

# Efecto Casimir Dinámico

---

Reseña:

- Transformaciones de Bogoliuvob
- Efecto Casimir dinámico y sus propiedades
- Propuesta experimental y medición
- Sistema optomecánico
- Relativistic Quantum Information

# Efecto Casimir Dinámico

---

Reseña:

- Transformaciones de Bogoliuvob
- Efecto Casimir dinámico y sus propiedades
- Propuesta experimental y medición
- Sistema optomecánico
- Relativistic Quantum Information

## Transformaciones de Bogoliuvob

---

$$\square \hat{\Phi}(x, t) = 0$$

## Transformaciones de Bogoliuvob

---

$$\square \hat{\Phi}(x, t) = 0$$

$$\hat{\Phi}(x, t) = \sum_k [\hat{a}_k^{\text{in}} u_k(x, t) + h.c.]$$

$$u_k(x, t) = e^{i(k \cdot x - \omega t)}$$

$$\hat{a}_k^{\text{in}} |0\rangle_{in} = 0, \quad \forall k$$

## Transformaciones de Bogoliuvob

---

$$\square \hat{\Phi}(x, t) = 0$$

$$\hat{\Phi}(x, t) = \sum_k [\hat{a}_k^{\text{in}} u_k(x, t) + h.c.]$$

$$u_k(x, t) = e^{i(k \cdot x - \omega t)}$$

$$\hat{a}_k^{\text{in}} |0\rangle_{in} = 0, \quad \forall k$$

$$\hat{\Phi}(x, t) = \sum_k [\hat{a}_k^{\text{out}} v_k(x, t) + h.c.]$$

$$\hat{a}_k^{\text{out}} |0\rangle_{out} = 0, \quad \forall k$$

## Transformaciones de Bogoliuvob

$$\square \hat{\Phi}(x, t) = 0$$

$$\hat{\Phi}(x, t) = \sum_k [\hat{a}_k^{\text{in}} u_k(x, t) + h.c.]$$

$$u_k(x, t) = e^{i(k \cdot x - \omega t)}$$

$$\hat{a}_k^{\text{in}} |0\rangle_{in} = 0, \quad \forall k$$

$$\hat{\Phi}(x, t) = \sum_k [\hat{a}_k^{\text{out}} v_k(x, t) + h.c.]$$

$$\hat{a}_k^{\text{out}} |0\rangle_{out} = 0, \quad \forall k$$

$$v_n = \sum_k [\alpha_{nk} u_k + \beta_{nk} u_k^*]$$

$$\hat{a}_n^{\text{out}} = \sum_k [\alpha_{nk} \hat{a}_k^{\text{in}} + \beta_{nk}^* \hat{a}_k^{\text{in}\dagger}]$$

$$\langle 0 |_{in} \hat{N}_n^{\text{out}} |0\rangle_{in} = \langle \hat{a}_n^{\text{out}\dagger} \hat{a}_n^{\text{out}} \rangle = \sum_k |\beta_{nk}|^2$$

# Transformaciones de Bogoliuvob

$$\square \hat{\Phi}(x, t) = 0$$

$$\hat{\Phi}(x, t) = \sum_k [\hat{a}_k^{\text{in}} u_k(x, t) + h.c.]$$

$$u_k(x, t) = e^{i(k \cdot x - \omega t)}$$

$$\hat{a}_k^{\text{in}} |0\rangle_{\text{in}} = 0, \quad \forall k$$

$$\hat{\Phi}(x, t) = \sum_k [\hat{a}_k^{\text{out}} v_k(x, t) + h.c.]$$

$$\hat{a}_k^{\text{out}} |0\rangle_{\text{out}} = 0, \quad \forall k$$

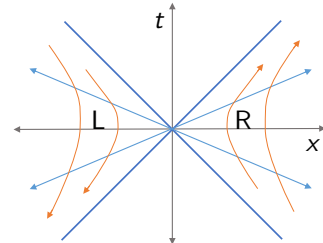
$$v_n = \sum_k [\alpha_{nk} u_k + \beta_{nk} u_k^*]$$

$$\hat{a}_n^{\text{out}} = \sum_k [\alpha_{nk} \hat{a}_k^{\text{in}} + \beta_{nk}^* \hat{a}_k^{\text{in}\dagger}]$$

$$\langle 0|_{\text{in}} \hat{N}_n^{\text{out}} |0\rangle_{\text{in}} = \langle \hat{a}_n^{\text{out}\dagger} \hat{a}_n^{\text{out}} \rangle = \sum_k |\beta_{nk}|^2$$

El observador out ve partículas en un estado de vacío in.

Las partículas se crean en pares.



$$u(x, 0) = v_L(x, 0) v_R(x, 0) = v(x, 0)$$

$$a_k^{\text{in}} = \cosh(r) a_k^{\text{in}} + \sinh(r) a_k^{\text{out}\dagger}$$

$$|0_k\rangle_M \sim \frac{1}{\cosh r} \sum_n \tanh^n r |n_k\rangle_L \otimes |n_k\rangle_R$$

# Efecto Casimir dinámico

---

Observador quieto y mover un contorno.

---

<sup>1</sup>S.A. Fulling and P.C.W. Davies, Proc. R. Soc. A 348, 393 (1976)

<sup>2</sup>G.T. Moore, J. Math. Phys. 11, 2679 (1970)

<sup>2</sup>A. Lambrecht, M.T. Jaekel and S. Reynaud, Phys. Rev. Lett. 77, 615 (1996)

## Efecto Casimir dinámico

---

Observador quieto y mover un contorno.

Espejo acelerado uniformemente no emite radiación.

---

<sup>1</sup>S.A. Fulling and P.C.W. Davies, Proc. R. Soc. A 348, 393 (1976)

<sup>2</sup>G.T. Moore, J. Math. Phys. 11, 2679 (1970)

<sup>2</sup>A. Lambrecht, M.T. Jaekel and S. Reynaud, Phys. Rev. Lett. 77, 615 (1996)

# Efecto Casimir dinámico

Observador quieto y mover un contorno.

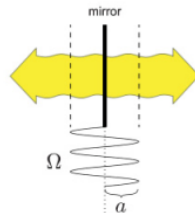
Espejo acelerado uniformemente no emite radiación.

Sacudir el espejo, sí emite radiación!<sup>1</sup>

→ Efecto Casimir Dinámico (DCE)<sup>2</sup>

Flujo de fotones<sup>3</sup>:  $N = \frac{\Omega T}{6\pi} \left(\frac{v}{c}\right)^2$ ,  $v = \Omega a$

Single-mirror setups



Broadband spectrum with peak at  $\omega_d/2$

<sup>1</sup>S.A. Fulling and P.C.W. Davies, Proc. R. Soc. A 348, 393 (1976)

<sup>2</sup>G.T. Moore, J. Math. Phys. 11, 2679 (1970)

<sup>3</sup>A. Lambrecht, M.T. Jaekel and S. Reynaud, Phys. Rev. Lett. 77, 615 (1996)

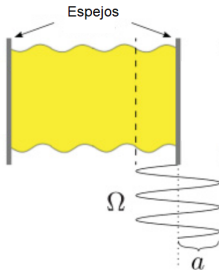
## Efecto Casmir dinámico

---

Veamos cómo surge el efecto en una cavidad

# Efecto Casimir dinámico

Veamos cómo surge el efecto en una cavidad



Desplazamiento del espejo  $r(t)$ ,  $\omega_k(t) = \frac{k\pi}{L_0+r(t)}$

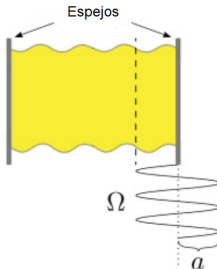
Desarrollamos al campo en una base instantánea.

$$v_n(x, t) = \sum_k Q_k^{(n)}(t) \varphi_k(x, t)$$

$$\varphi_k(x, t) = \sqrt{\frac{2}{L(t)}} \sin\left(\frac{k\pi}{L(t)}x\right)$$

# Efecto Casimir dinámico

Veamos cómo surge el efecto en una cavidad



Desplazamiento del espejo  $r(t)$ ,  $\omega_k(t) = \frac{k\pi}{L_0+r(t)}$

Desarrollamos al campo en una base instantánea.

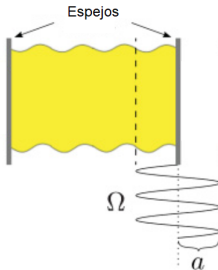
$$v_n(x, t) = \sum_k Q_k^{(n)}(t) \varphi_k(x, t)$$

$$\varphi_k(x, t) = \sqrt{\frac{2}{L(t)}} \sin\left(\frac{k\pi}{L(t)}x\right)$$

$$\begin{aligned} \ddot{Q}_k^{(n)}(t) - 2\dot{r}(t) \sum_j \dot{Q}_j^{(n)}(t) g_{kj} - \ddot{r}(t) \sum_j Q_j^{(n)}(t) g_{kj} \\ - \dot{r}^2(t) \sum_{jl} Q_j^{(n)}(t) g_{lj} g_{lk} + \omega_k^2 Q_k^{(n)}(t) = 0 \end{aligned}$$

# Efecto Casimir dinámico

Veamos cómo surge el efecto en una cavidad



Desplazamiento del espejo  $r(t)$ ,  $\omega_k(t) = \frac{k\pi}{L_0+r(t)}$

Desarrollamos al campo en una base instantánea.

$$v_n(x, t) = \sum_k Q_k^{(n)}(t) \varphi_k(x, t)$$

$$\varphi_k(x, t) = \sqrt{\frac{2}{L(t)}} \sin\left(\frac{k\pi}{L(t)}x\right)$$

$$\begin{aligned} \ddot{Q}_k^{(n)}(t) - 2\dot{r}(t) \sum_j \dot{Q}_j^{(n)}(t) g_{kj} - \ddot{r}(t) \sum_j Q_j^{(n)}(t) g_{kj} \\ - \dot{r}^2(t) \sum_{jl} Q_j^{(n)}(t) g_{lj} g_{lk} + \omega_k^2 Q_k^{(n)}(t) = 0 \end{aligned}$$

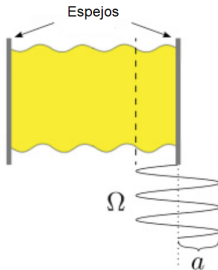
$$\text{Si } r(t) = aL \sin(\Omega t), \quad a \ll 1$$

1 solo modo EM

$$\ddot{Q}_k^{(n)}(t) + \omega_k^2(t) Q_k^{(n)}(t) = 0$$

# Efecto Casimir dinámico

Veamos cómo surge el efecto en una cavidad



Desplazamiento del espejo  $r(t)$ ,  $\omega_k(t) = \frac{k\pi}{L_0+r(t)}$

Desarrollamos al campo en una base instantánea.

$$v_n(x, t) = \sum_k Q_k^{(n)}(t) \varphi_k(x, t)$$

$$\varphi_k(x, t) = \sqrt{\frac{2}{L(t)}} \sin\left(\frac{k\pi}{L(t)}x\right)$$

$$\begin{aligned} \ddot{Q}_k^{(n)}(t) - 2\dot{r}(t) \sum_j \dot{Q}_j^{(n)}(t) g_{kj} - \ddot{r}(t) \sum_j Q_j^{(n)}(t) g_{kj} \\ - \dot{r}^2(t) \sum_{jl} Q_j^{(n)}(t) g_{lj} g_{lk} + \omega_k^2 Q_k^{(n)}(t) = 0 \end{aligned}$$

$$\text{Si } r(t) = aL \sin(\Omega t), \quad a \ll 1$$

1 solo modo EM

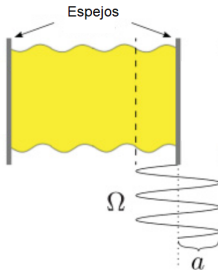
$$\ddot{Q}_k^{(n)}(t) + \omega_k^2(t) Q_k^{(n)}(t) = 0$$

Si  $\Omega = 2\omega_k$  resonancia paramétrica

Clásico solución trivial o amplitud crece exponencialmente con t

# Efecto Casimir dinámico

Veamos cómo surge el efecto en una cavidad



Desplazamiento del espejo  $r(t)$ ,  $\omega_k(t) = \frac{k\pi}{L_0+r(t)}$

Desarrollamos al campo en una base instantánea.

$$v_n(x, t) = \sum_k Q_k^{(n)}(t) \varphi_k(x, t)$$

$$\varphi_k(x, t) = \sqrt{\frac{2}{L(t)}} \sin\left(\frac{k\pi}{L(t)}x\right)$$

$$\begin{aligned} \ddot{Q}_k^{(n)}(t) - 2\dot{r}(t) \sum_j \dot{Q}_j^{(n)}(t) g_{kj} - \ddot{r}(t) \sum_j Q_j^{(n)}(t) g_{kj} \\ - \dot{r}^2(t) \sum_{jl} Q_j^{(n)}(t) g_{lj} g_{lk} + \omega_k^2 Q_k^{(n)}(t) = 0 \end{aligned}$$

$$\text{Si } r(t) = aL \sin(\Omega t), \quad a \ll 1$$

1 solo modo EM

$$\ddot{Q}_k^{(n)}(t) + \omega_k^2(t) Q_k^{(n)}(t) = 0$$

Si  $\Omega = 2\omega_k$  resonancia paramétrica

Clásico solución trivial o amplitud crece exponencialmente con t

$$\text{Cuántico } \langle 0 | N_k^{out} | 0 \rangle = \sinh^2(\omega_k at/2)$$

## Efecto Casimir dinámico

---

Todos los modos:  $Q_k^{(n)} = \alpha_{nk}(\tau) \frac{e^{-i\omega_k t}}{\sqrt{2\omega_k}} + \beta_{nk}(\tau) \frac{e^{i\omega_k t}}{\sqrt{2\omega_k}}, \quad \tau = at, \quad \alpha_{nk}(0) = \delta_{nk}, \quad \beta_{nk}(0) = 0$

$$\begin{aligned} \frac{d\beta_{nk}}{d\tau} &= \sum_j \frac{\Omega}{2\omega_k} g_{kj} \alpha_{nj} \left[ \left( \omega_j + \frac{\Omega}{2} \right) \delta(\Omega + \omega_j - \omega_k) + \left( \omega_j - \frac{\Omega}{2} \right) \delta(-\Omega + \omega_j - \omega_k) \right] \\ &\quad - \frac{\pi^2 k^2}{2\omega_k L^2} \alpha_{nk} \delta(2\omega_k - \Omega) + \sum_j \frac{\Omega}{2\omega_k} g_{kj} \left( -\omega_j + \frac{\Omega}{2} \right) \alpha_{nj} \delta(\Omega - \omega_j - \omega_k) \end{aligned}$$

$$\begin{aligned} \frac{d\alpha_{nk}}{d\tau} &= \sum_j \frac{\Omega}{2\omega_k} g_{kj} \alpha_{nj} \left[ \left( \omega_j + \frac{\Omega}{2} \right) \delta(\Omega + \omega_j - \omega_k) + \left( \omega_j - \frac{\Omega}{2} \right) \delta(-\Omega + \omega_j - \omega_k) \right] \\ &\quad - \frac{\pi^2 k^2}{2\omega_k L^2} \beta_{nk} \delta(2\omega_k - \Omega) + \sum_j \frac{\Omega}{2\omega_k} g_{kj} \left( -\omega_j + \frac{\Omega}{2} \right) \beta_{nj} \delta(\Omega - \omega_j - \omega_k) \end{aligned}$$

## Efecto Casimir dinámico

Todos los modos:  $Q_k^{(n)} = \alpha_{nk}(\tau) \frac{e^{-i\omega_k t}}{\sqrt{2\omega_k}} + \beta_{nk}(\tau) \frac{e^{i\omega_k t}}{\sqrt{2\omega_k}}, \quad \tau = at, \quad \alpha_{nk}(0) = \delta_{nk}, \quad \beta_{nk}(0) = 0$

$$\begin{aligned} \frac{d\beta_{nk}}{d\tau} &= \sum_j \frac{\Omega}{2\omega_k} g_{kj} \alpha_{nj} \left[ \left( \omega_j + \frac{\Omega}{2} \right) \delta(\Omega + \omega_j - \omega_k) + \left( \omega_j - \frac{\Omega}{2} \right) \delta(-\Omega + \omega_j - \omega_k) \right] \\ &\quad - \frac{\pi^2 k^2}{2\omega_k L^2} \alpha_{nk} \delta(2\omega_k - \Omega) + \sum_j \frac{\Omega}{2\omega_k} g_{kj} \left( -\omega_j + \frac{\Omega}{2} \right) \alpha_{nj} \delta(\Omega - \omega_j - \omega_k) \end{aligned}$$

$$\begin{aligned} \frac{d\alpha_{nk}}{d\tau} &= \sum_j \frac{\Omega}{2\omega_k} g_{kj} \alpha_{nj} \left[ \left( \omega_j + \frac{\Omega}{2} \right) \delta(\Omega + \omega_j - \omega_k) + \left( \omega_j - \frac{\Omega}{2} \right) \delta(-\Omega + \omega_j - \omega_k) \right] \\ &\quad - \frac{\pi^2 k^2}{2\omega_k L^2} \beta_{nk} \delta(2\omega_k - \Omega) + \sum_j \frac{\Omega}{2\omega_k} g_{kj} \left( -\omega_j + \frac{\Omega}{2} \right) \beta_{nj} \delta(\Omega - \omega_j - \omega_k) \end{aligned}$$

Si  $\Omega = 2\omega_j$  creación de pares en  $j$

Si  $\Omega = \omega_j + \omega_k$  creación de pares en  $j$  y  $k$

Si  $\Omega = |\omega_j - \omega_k|$  scattering de fotones entre  $j$  y  $k$

## Efecto Casimir dinámico

---

1 modo  $\Omega = 2\omega_j$

## Efecto Casimir dinámico

---

1 modo  $\Omega = 2\omega_j$

$$a_j^{\text{out}} = \cosh(r) a_j^{\text{in}} + \sinh(r) a_j^{\text{in}\dagger}$$

## Efecto Casimir dinámico

---

1 modo  $\Omega = 2\omega_j$

$$a_j^{\text{out}} = \cosh(r)a_j^{\text{in}} + \sinh(r)a_j^{\text{in}\dagger}$$

Si el estado inicial es  $|0\rangle$

$$|\psi\rangle = \frac{1}{\sqrt{\cosh r}} \sum_n \tanh^n r \frac{\sqrt{(2n)!}}{2^n n!} |2n\rangle$$
$$r = r(\tau)$$

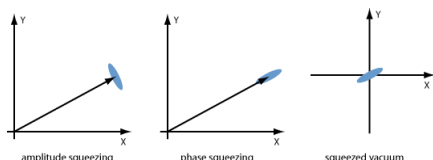
# Efecto Casimir dinámico

1 modo  $\Omega = 2\omega_j$

$$a_j^{\text{out}} = \cosh(r)a_j^{\text{in}} + \sinh(r)a_j^{\text{in}\dagger}$$

Si el estado inicial es  $|0\rangle$

$$|\psi\rangle = \frac{1}{\sqrt{\cosh r}} \sum_n \tanh^n r \frac{\sqrt{(2n)!}}{2^n n!} |2n\rangle$$
$$r = r(\tau)$$



# Efecto Casimir dinámico

$$1 \text{ modo } \Omega = 2\omega_j$$

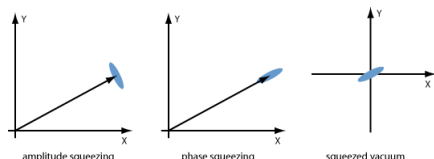
$$a_j^{\text{out}} = \cosh(r)a_j^{\text{in}} + \sinh(r)a_j^{\text{in}\dagger}$$

Si el estado inicial es  $|0\rangle$

$$|\psi\rangle = \frac{1}{\sqrt{\cosh r}} \sum_n \tanh^n r \frac{\sqrt{(2n)!}}{2^n n!} |2n\rangle$$
$$r = r(\tau)$$

$$2 \text{ modos } \Omega = \omega_j + \omega_k$$

$$a_j^{\text{out}} = \cosh(r)a_j^{\text{in}} + \sinh(r)a_k^{\text{in}\dagger}$$



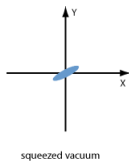
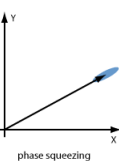
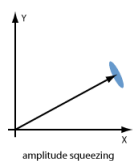
# Efecto Casimir dinámico

1 modo  $\Omega = 2\omega_j$

$$a_j^{\text{out}} = \cosh(r)a_j^{\text{in}} + \sinh(r)a_j^{\text{in}\dagger}$$

Si el estado inicial es  $|0\rangle$

$$|\psi\rangle = \frac{1}{\sqrt{\cosh r}} \sum_n \tanh^n r \frac{\sqrt{(2n)!}}{2^n n!} |2n\rangle$$
$$r = r(\tau)$$



2 modos  $\Omega = \omega_j + \omega_k$

$$a_j^{\text{out}} = \cosh(r)a_j^{\text{in}} + \sinh(r)a_k^{\text{in}\dagger}$$

Si el estado inicial es  $|0\rangle$

$$|\psi\rangle = \frac{1}{\cosh r} \sum_n \tanh^n r \frac{\sqrt{(2n)!}}{2^n n!} |n_j, n_k\rangle$$

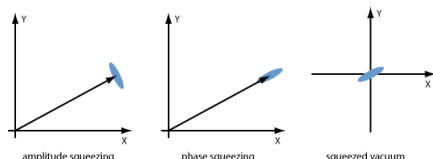
# Efecto Casimir dinámico

1 modo  $\Omega = 2\omega_j$

$$a_j^{\text{out}} = \cosh(r)a_j^{\text{in}} + \sinh(r)a_j^{\text{in}\dagger}$$

Si el estado inicial es  $|0\rangle$

$$|\psi\rangle = \frac{1}{\sqrt{\cosh r}} \sum_n \tanh^n r \frac{\sqrt{(2n)!}}{2^n n!} |2n\rangle$$
$$r = r(\tau)$$



2 modos  $\Omega = \omega_j + \omega_k$

$$a_j^{\text{out}} = \cosh(r)a_j^{\text{in}} + \sinh(r)a_k^{\text{in}\dagger}$$

Si el estado inicial es  $|0\rangle$

$$|\psi\rangle = \frac{1}{\cosh r} \sum_n \tanh^n r \frac{\sqrt{(2n)!}}{2^n n!} |n_j, n_k\rangle$$

Si  $\Omega = |\omega_j - \omega_k|$

$$a_j^{\text{out}} = \cos(r)a_j^{\text{in}} + \sin(r)a_k^{\text{in}}$$

—> oscilaciones

## Efecto Casimir dinámico

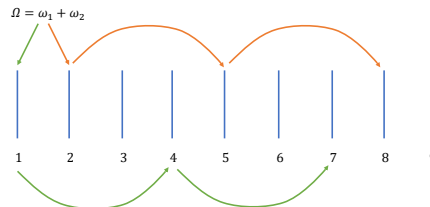
Infinitos modos: Se puede resolver exacto para  $\Omega = q\omega_1$ <sup>4</sup> y se tiene una combinación de estos procesos elementales

$$a_m^{\text{out}} = \sum_{n=1}^{\infty} \sqrt{\frac{m}{n}} \left[ \rho_m^{(n)} a_m^{\text{in}} - \rho_{-m}^{(n)*} a_m^{\text{in}\dagger} \right]$$

$$\rho_{j+mq}^{(j+nq)} = \frac{\Gamma(1+n+j/q)(\sigma\kappa)^{n-m}}{\Gamma(1+m+j/q)\Gamma(1+n-m)} \times F(n+j/q, -m-j/q; 1+n-m; \kappa^2)$$

$$\rho_{j+mq}^{(k+nq)} = 0 \text{ si } j \neq k, \quad \sigma = (-1)^q, \quad \kappa = \tanh(q\tau)$$

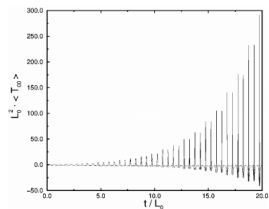
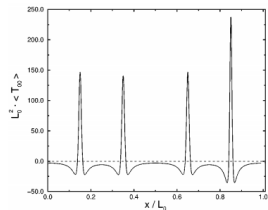
$$\frac{d}{d\tau} N_{j+pq} = \frac{2q^2 \sin^2(\pi j/q)}{\pi^2(j+pq)}, \quad q\tau \gg 1$$



<sup>4</sup>V. V. Dodonov, J. Phys. A 31, 9835 (1998)

# Efecto Casimir dinámico

Pulsos<sup>5</sup>

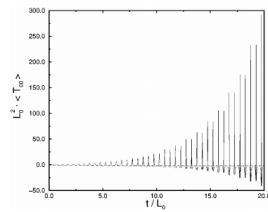
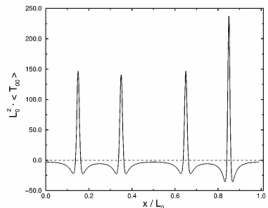


<sup>5</sup>Dalvit, D. A. R., Mazzitelli, F. D. , Physical Review A, 57(3), 2113–2119 (1998).

<sup>6</sup>P. I. Villar, A. Soba, F. C. Lombardo Phys. Rev. A 95, 032115 ()2017)

# Efecto Casimir dinámico

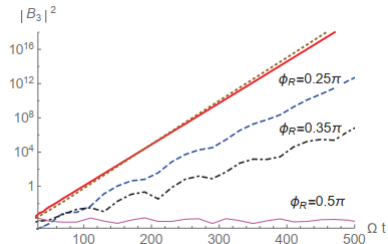
Pulsos<sup>5</sup>



Dos espejos móviles<sup>6</sup>

$$R(t) = L_0 - A_R \epsilon_R \sin(\phi_R) + A_R \epsilon_R \sin(\Omega_R t + \phi_R)$$

Aparecen efectos de interferencia debido a la fase relativa.

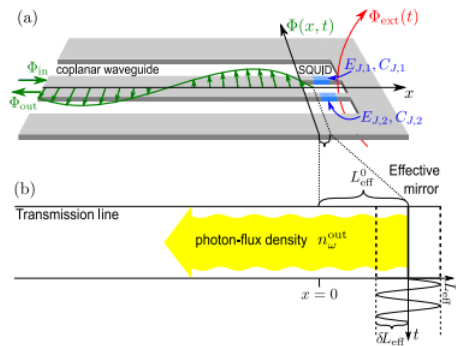


<sup>5</sup>Dalvit, D. A. R., Mazzitelli, F. D., Physical Review A, 57(3), 2113–2119 (1998).

<sup>6</sup>P. I. Villar, A. Soba, F. C. Lombardo Phys. Rev. A 95, 032115 ()2017)

# Efecto Casimir dinámico

Propuesta<sup>7</sup>

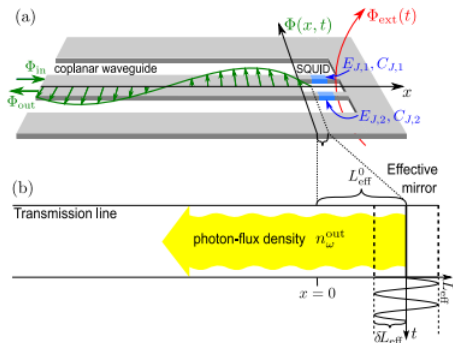


<sup>7</sup>J. R. Johansson, G. Johansson, C. M. Wilson, and F. Nori, Phys. Rev. Lett. 103, 147003 (2009)

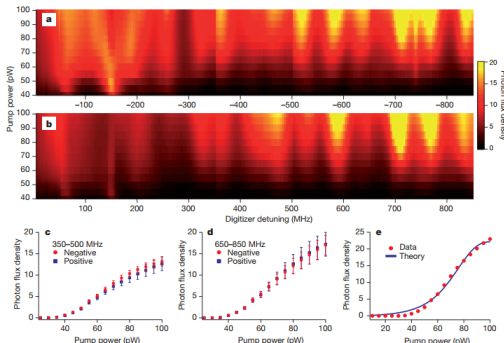
<sup>8</sup>G. Johansson, A. Pourkabirian, M. Simoen, J. R. Johansson, T. Duty, F. Nori, and P. Delsing, Nature 479, 376 (2011)

# Efecto Casimir dinámico

Propuesta<sup>7</sup>



Medicion<sup>8</sup>



<sup>7</sup>J. R. Johansson, G. Johansson, C. M. Wilson, and F. Nori, Phys. Rev. Lett. 103, 147003 (2009)

<sup>8</sup>G. Johansson, A. Pourkabirian, M. Simoen, J. R. Johansson, T. Duty, F. Nori, and P. Delsing, Nature 479, 376 (2011)

## Efecto Casimir dinámico

---

Hamiltoniano campo EM + pared móvil<sup>9</sup>

$$H = \frac{p^2}{2m} + u(x_m) + \hbar \sum_k \omega_k a_k^\dagger a_k - x_m F_0$$
$$F_0 = \frac{x_m}{2l_0} \sum_{k,j} (-1)^{k+j} \sqrt{\omega_k \omega_j} (a_k a_j + a_k^\dagger a_j^\dagger + a_k^\dagger a_j + a_j^\dagger a_k)$$

---

<sup>1</sup>C. K. Law, Phys. Rev. A 51, 2537 (1995)

<sup>2</sup>V. Macri, et al., Phys. Rev. X 8, 011031 (2018)

# Efecto Casimir dinámico

Hamiltoniano campo EM + pared móvil<sup>9</sup>

$$H = \frac{p^2}{2m} + u(x_m) + \hbar \sum_k \omega_k a_k^\dagger a_k - x_m F_0$$
$$F_0 = \frac{x_m}{2l_0} \sum_{k,j} (-1)^{k+j} \sqrt{\omega_k \omega_j} (a_k a_j + a_k^\dagger a_j^\dagger + a_k^\dagger a_j + a_j^\dagger a_k)$$

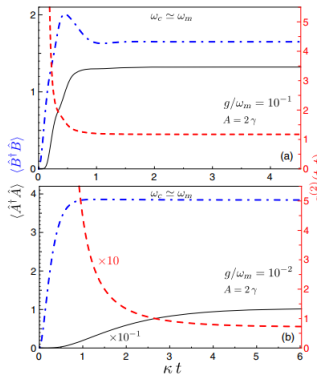
Pared potencial armónico + 1 modo EM<sup>10</sup>

$$H = \omega_m b^\dagger b + \omega_c a^\dagger a + g a^\dagger a (b + b^\dagger)$$
$$+ \frac{g}{2} (a^2 + a^{\dagger 2}) (b + b^\dagger)$$

Resolvemos el hamiltoniano optomecánico estándar y tomamos al DCE como perturbación.

Obtenemos creación de fotones para  $\omega_m < 2\omega_c$ !

Numérico (Master equation)



<sup>9</sup>C. K. Law, Phys. Rev. A 51, 2537 (1995)

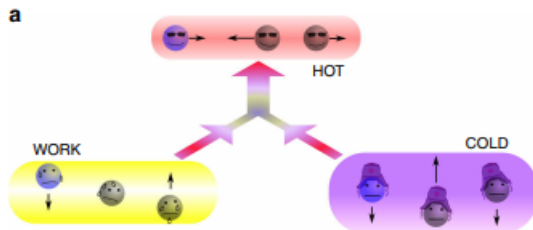
<sup>10</sup>V. Macri, et al., Phys. Rev. X 8, 011031 (2018)

# Efecto Casimir dinámico

DCE como Quantum Refrigerator

Las interacciones del DCE tienen la misma forma que las de un quantum refrigerator.

$$\hat{H} = \hbar\xi \left( \hat{a}_h^\dagger \hat{a}_w \hat{a}_c + \hat{a}_h \hat{a}_w^\dagger \hat{a}_c^\dagger \right),$$



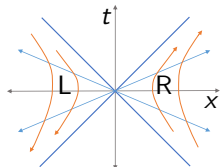
<sup>9</sup>G. Maslennikov, S. Ding, R. Hablützel, J. Gan, A. Roulet, S. Nimmrichter, J. Dai, V. Scarani, D. Matsukevich, Nature Communications volume 10, 202 (2019)

# Efecto Casimir dinámico

Relativistic Quantum Information: Unruh

Estado inicial entrelazado

$$|\psi\rangle = \frac{1}{\sqrt{2}} (|0_s\rangle^{\mathcal{M}}|0_k\rangle^{\mathcal{M}} + |1_s\rangle^{\mathcal{M}}|1_k\rangle^{\mathcal{M}})$$

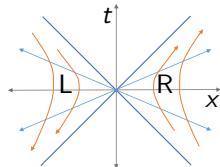


---

<sup>10</sup>I. Fuentes, R. B. Mann, PRL 95, 120404 (2005)

# Efecto Casimir dinámico

Relativistic Quantum Information: Unruh



Estado inicial entrelazado

$$|\psi\rangle = \frac{1}{\sqrt{2}} (|0_s\rangle^{\mathcal{M}} |0_k\rangle^{\mathcal{M}} + |1_s\rangle^{\mathcal{M}} |1_k\rangle^{\mathcal{M}})$$

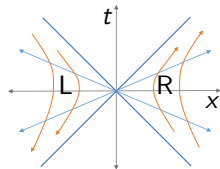
$$|0_k\rangle^{\mathcal{M}} \sim \frac{1}{\cosh r} \sum_n \tanh^n r |n_k\rangle_L |n_k\rangle_R$$

$$|1_k\rangle^{\mathcal{M}} \sim \frac{1}{\cosh^2 r} \sum_n \tanh^n r \sqrt{n+1} |(n+1)_k\rangle_L |n_k\rangle_R$$

<sup>10</sup>I. Fuentes, R. B. Mann, PRL 95, 120404 (2005)

# Efecto Casimir dinámico

Relativistic Quantum Information: Unruh



Estado inicial entrelazado

$$|\psi\rangle = \frac{1}{\sqrt{2}} (|0_s\rangle^{\mathcal{M}} |0_k\rangle^{\mathcal{M}} + |1_s\rangle^{\mathcal{M}} |1_k\rangle^{\mathcal{M}})$$

$$|0_k\rangle^{\mathcal{M}} \sim \frac{1}{\cosh r} \sum_n \tanh^n r |n_k\rangle_L |n_k\rangle_R$$

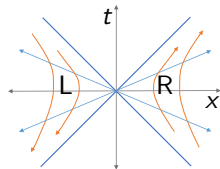
$$|1_k\rangle^{\mathcal{M}} \sim \frac{1}{\cosh^2 r} \sum_n \tanh^n r \sqrt{n+1} |(n+1)_k\rangle_L |n_k\rangle_R$$

$$\rho_{sk_R} = \text{Tr}_{k_L} |\psi\rangle \langle \psi|$$

<sup>10</sup>I. Fuentes, R. B. Mann, PRL 95, 120404 (2005)

# Efecto Casimir dinámico

Relativistic Quantum Information: Unruh



Estado inicial entrelazado

$$|\psi\rangle = \frac{1}{\sqrt{2}} (|0_s\rangle^{\mathcal{M}} |0_k\rangle^{\mathcal{M}} + |1_s\rangle^{\mathcal{M}} |1_k\rangle^{\mathcal{M}})$$

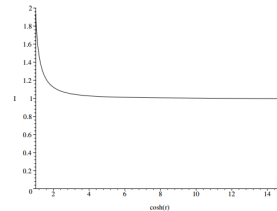
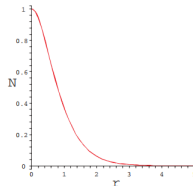
$$|0_k\rangle^{\mathcal{M}} \sim \frac{1}{\cosh r} \sum_n \tanh^n r |n_k\rangle_L |n_k\rangle_R$$

$$|1_k\rangle^{\mathcal{M}} \sim \frac{1}{\cosh^2 r} \sum_n \tanh^n r \sqrt{n+1} |(n+1)_k\rangle_L |n_k\rangle_R$$

$$\rho_{sk_R} = \text{Tr}_{k_L} |\psi\rangle \langle \psi|$$

$$N(\rho) = \log_2 |\rho_{sk_R}^T|_1 \rightarrow_{r \rightarrow \infty} 0$$

La aceleración rompe el entrelazamiento!



<sup>10</sup>I. Fuentes, R. B. Mann, PRL 95, 120404 (2005)

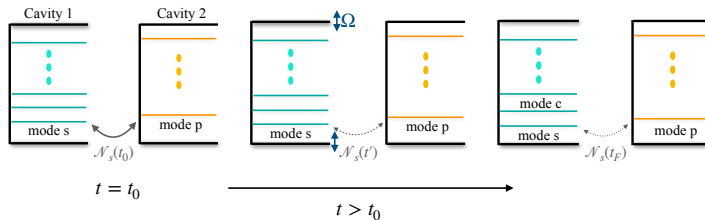
# Efecto Casimir dinámico

Relativistic Quantum information: DCE

Consideramos 2 observadores con cavidades cuyos modos se encuentran inicialmente entrelazados.

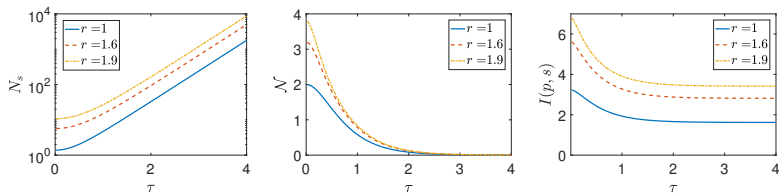
Uno de ellos se mueve de forma oscilante (o simplemente sacude su cavidad).

¿Qué sucede con el entrelazamiento que compartían inicialmente?



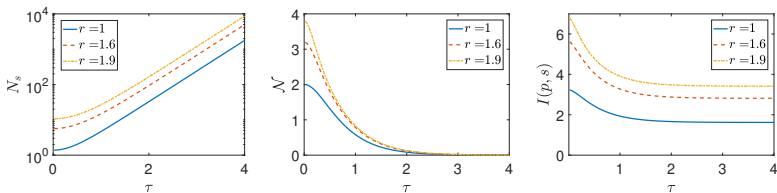
# Efecto Casimir dinámico

$\Omega = \omega_j + \omega_k$ : El entrelazamiento se pierde asintóticamente

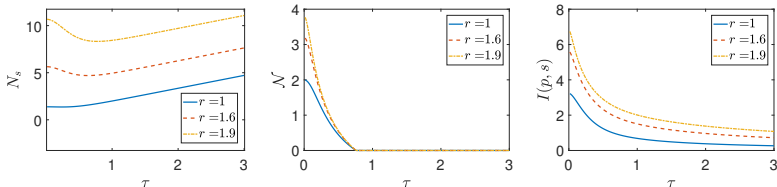


# Efecto Casimir dinámico

$\Omega = \omega_j + \omega_k$ : El entrelazamiento se pierde asintóticamente



$\Omega = 3\omega_1$ : El entrelazamiento se pierde completamente a tiempo finito



## Efecto Casimir Dinámico

---

Resumiendo, podemos usar el DCE para

- Estudiar aspectos teóricos de creación de partículas en teoría campos

## Efecto Casimir Dinámico

---

Resumiendo, podemos usar el DCE para

- Estudiar aspectos teóricos de creación de partículas en teoría campos
- Generación de pares entrelazados y estados squeeze.

## Efecto Casimir Dinámico

---

Resumiendo, podemos usar el DCE para

- Estudiar aspectos teóricos de creación de partículas en teoría campos
- Generación de pares entrelazados y estados squeeze.
- El efecto ha sido medido en circuitos superconductores y hay propuestas para hacer en sistemas optomecánicos

## Efecto Casimir Dinámico

---

Resumiendo, podemos usar el DCE para

- Estudiar aspectos teóricos de creación de partículas en teoría campos
- Generación de pares entrelazados y estados squeeze.
- El efecto ha sido medido en circuitos superconductores y hay propuestas para hacer en sistemas optomecánicos
- Estudiar aspectos de termodinámica cuántica. Efectos no adiabáticos y máquinas térmicas.

## Efecto Casimir Dinámico

---

Resumiendo, podemos usar el DCE para

- Estudiar aspectos teóricos de creación de partículas en teoría campos
- Generación de pares entrelazados y estados squeeze.
- El efecto ha sido medido en circuitos superconductores y hay propuestas para hacer en sistemas optomecánicos
- Estudiar aspectos de termodinámica cuántica. Efectos no adiabáticos y máquinas térmicas.
- Entender cómo el movimiento relativo afecta el entrelazamiento entre distintos observadores.

¡Gracias!

¿Preguntas?